



1. VEN



دانشکده علوم پایه

پایان نامه کارشناسی ارشد در رشته شیمی (معدنی)

واکنش اکسایشی افزایشی MeI به کمپلکس متیل پلاتین(II) حاوی لیگاند
کی لیت شونده PN

بوسیله‌ی:
الهام سادات تابعی

استاد راهنما:
دکتر مهدی رشیدی

۱۳۸۶ آذر

۱۰۷۴۸۶

به نام خدا

واکنش اکسایشی افزایشی MeI به کمپلکس متیل پلاتین(II) شامل لیگند کی لیت شونده PN

بوسیله‌ی

الهام سادات تابعی

پایان نامه

ارائه شده به معاونت تحصیلات تكمیلی به عنوان بخشی از
فعالیتهای تحصیلی لازم برای اخذ درجه کارشناسی ارشد

در رشته

شیمی معدنی

از دانشگاه شیراز

شیراز

جمهوری اسلامی ایران

۱۳۸۷ / ۹ / ۲۴

ارزیابی شده توسط کمیته پایان نامه با درجه: عالی

دکتر مهدی رشیدی ، استاد بخش شیمی (رئیس کمیته و استاد راهنمای)

دکتر مظفر اسدی ، استاد بخش شیمی.....

دکتر احمد رضا اسماعیل بیگ ، استادیار بخش شیمی.....

دکتر سید مسعود نبوی زاده ، استادیار بخش شیمی.....

آذر ماه ۱۳۸۶

به نام خدا

منت خدای راعو جل که طاوش موجب رحمت است و به شکر اندرش مزید نعمت

حمد و پاس خداوند را که هر آن چه کسب می کنیم در سایه توجهات بی تهای اوست و بی عنایت او پیچ امری می سرخواهد بود.
بر خود وظیفه دارم از تغایر عزیز را که مریاری دادند تا بدین مرحله بر سرم شکر و پاکناری کنم، باشد که ذره ای از محبت نای آنها را جبران نموده باشم.

الهام سادات تابعی

تیرماه ۱۳۸۷

چکیده

واکنش اکسایشی افزایشی MeI به کمپلکس متیل پلاتین(II) حاوی لیگاند کی لیت شونده PN

بوسیله‌ی:

الهام سادات تابعی

در این تحقیق دو کمپلکس جدید، $[\text{PtMe}_3\text{I}(\text{dppap})]$ و $[\text{PtMe}_2(\text{dppap})]$ ، که در آن dppap عبارت است از ۲-دی فنیل فسفینو آمینو پیریدین، سنتز شدند و سپس سینتیک واکنش CH_3I با کمپلکس $[\text{PtMe}_2(\text{dppap})]$ در حلal بنزن و در دماهای مختلف با استفاده از اسپکتروسکوپی-UV-vis مطالعه گردید. واکنش از سینتیک مرتبه دوم پیروی می‌کند، پارامترهای فعالسازی بدست آمدند و مقدار منفی بزرگی برای $\text{Rate} = k_2[\text{PtMe}_2(\text{dppap})][\text{CH}_3\text{I}]$ بدست آمد. لذا پیشنهاد می‌شود که واکنش از طریق مکانیسم $\text{S}_{\text{N}}2$ پیش می‌رود. ΔS^\ddagger نشان داده شده است که واکنش افزایشی اکسایشی CH_3I به کمپلکس $[\text{PtMe}_2(\text{dppap})]$ که حاوی لیگاند کی لیت شونده PN است با سرعتی بین سرعت واکنشهای مربوط به آنalog های دی‌آلکیل خود، $[\text{PtMe}_2(\text{P-P})]$ و $[\text{PtMe}_2(\text{N-N})]$ ، که در آنها P-P و N-N به ترتیب لیگاندهای کی لیت شونده دی فسفین (مانند دی فنیل فسفینو متان) یا دی ایمین (مانند ۲-بی‌پیریدین) است، پیش می‌رود.

محصول پلاتین(II) به طور کامل توسط اسپکتروسکوپی NMR (^1H , ^{13}C , ^{31}P , ^{195}Pt) و تجزیه عنصری شناسایی شده است.

فهرست مطالب

صفحه	عنوان
۲	فصل اول
۲	مقدمه
۲	۱- ملاحظات کلی
۲	۲-۱-۱- ترکیبات اورگانو پلاتین با درونمایه های آلی جدید
۴	۲-۱-۳- ترکیبات اورگانو پلاتین(IV)
۴	۲-۲- واکنشهای اکسایشی- افزایشی کمپلکسها اورگانو پلاتین(II)
۵	۱-۲-۱- مکانیسم اکسایشی افزایشی
۶	۱-۲-۱-۱- واکنشگرهای دسته اول
۷	۱-۲-۱-۲- واکنشگرهای دسته دوم
۷	۱-۲-۱-۲-۱- افزایش سه مرکزی به صورت سیس
۷	۱-۲-۱-۲-۲- افزایش اکسایشی دو مولکولی(نوعی S_N2)
۹	۱-۲-۱-۳- واکنشگرهای دسته سوم
۱۰	۱-۳- لیگاندهای تک دندانه و دو دندانه
۱۲	۱-۳-۱- پیوند پلاتین(II) با لیگاندهای دو دندانه
۱۳	۱-۳-۲- لیگاندهای با دهنده نیتروژن
۱۳	۱-۴- لیگاندهای همی لبال
۱۴	۱-۴-۱- کمپلکسها شامل لیگاندهای P-O
۱۴	۱-۴-۱-۱- لیگاندهای اتر- فسفین
۱۵	۱-۴-۲- لیگاندهای کربونیل- فسفین
۱۶	۱-۴-۳- لیگاندهای فسفین- اکسید
۱۶	۱-۴-۲- کمپلکسها شامل لیگاندهای هالید- فسفینها
۱۶	۱-۴-۱-۱- لیگاندهای F-P

عنوان

صفحه

۱۷ P-Cl-۲-۲-۴-۱
۱۷ P-Br-۳-۲-۴-۱
۱۸ لیگاند های کی لیت شونده فسفر- نیتروژن (PN)-۱-۳-۴-۱
۱۹ لیگاند های فسفینو پیریدین-۲-۳-۴-۱
۲۱ لیگاند های فسفینو پیریدین با فاصله دهنده NH-۱-۲-۳-۴-۱
۲۳ فصل دوم
۲۳ کارهای تجربی
۲۳ ۱-۲- ملاحظات عمومی
۲۳ ۲-۲- منابع مواد شیمیایی
۲۴ ۳-۲- تکنیکها و روشها
۲۴ ۴-۳-۲- طیف سنجی رزونانس مغناطیسی پروتون
۲۴ ۵-۳-۲- طیف سنجی رزونانس مغناطیسی $^{195}\text{Pt}\{\text{H}\}$
۲۴ ۶-۳-۲- طیف سنجی رزونانس مغناطیسی $^{31}\text{P}\{\text{H}\}$
۲۵ ۷-۳-۲- طیف سنجی رزونانس مغناطیسی $^{13}\text{C}\{\text{H}\}$
۲۵ ۸-۳-۲- تجزیه عنصری
۲۵ ۹-۳-۲- تعیین نقطه ذوب
۲۵ ۱۰-۳-۲- طیف سنجی مرئی - ماوراء بنفس
۲۵ ۱۱-۳-۲- تهییه اتر خشک
۲۶ ۱۲-۳-۲- طرز تهییه مواد اولیه
۲۶ ۱۳-۴-۲- تهییه K ₂ PtCl ₆ از پسمانده های آزمایشگاهی
۲۷ ۱۴-۴-۲- تهییه کمپلکس [PtCl ₂ (SMe ₂) ₂] از کمپلکس K ₂ PtCl ₆
۲۸ ۱۵-۴-۲- تهییه cis, cis-[Pt ₂ Me ₄ (μ-SMe ₂) ₂]
۲۸ ۱۶-۴-۲- تهییه 2-(diphenylphosphinoamino)pyridine (dppap)
۲۹ ۱۷-۴-۲- تهییه کمپلکس های کی لیت PN
۲۹ ۱۸-۴-۲- تهییه [PtMe ₂ (dppap)]
۲۹ ۱۹-۴-۲- تهییه [PtMe ₃ I(dppap)]
۳۰ ۲۰-۴-۲- اندازه گیریهای سینتیکی با استفاده از طیف سنجی UV-Visible
۳۰ ۲۱-۴-۲- واکنش MeI با [PtMe ₂ (dppap)] در بنزن

صفحه	عنوان
۳۱	فصل سوم
۳۲	بحث و نتیجه گیری
۳۵	۱-۱-۳- سنتز و شناسایی ترکیبات اولیه
۳۵	۱-۱-۳- تهیه K_2PtCl_6 از $PtCl_2(SMe_2)_2$
۳۶	۱-۲-۱-۳- $cis, cis-[Me_2Pt(\mu-SMe_2)_2PtMe_2]$ - تهیه
۳۷	۱-۳-۱-۳- تهیه ۲-(diphenylphosphinoamino)pyridine (dppap)
۳۸	۱-۲-۳- سنتز کمپلکس‌های شامل لیگاند PN
۳۸	۱-۲-۳- تهیه $[PtMe_2(dppap)]$
۴۵	۱-۲-۲-۳- تهیه $[PtMe_3 I(dppap)]$
	۱-۳-۳- مطالعات سینتیکی واکنش‌های افزایشی همراه با اکسایش روی کمپلکس
۴۸	۱-۳-۳- $[PtMe_2(dppap)]$
۴۸	۱-۳-۳- ملاحظات کلی
۴۹	۱-۳-۳- واکنش شبه مرتبه اول
۵۰	۱-۳-۳- تعیین کلی ثابت‌های سرعت
۵۰	۱-۴-۳- تعیین پارامترهای فعال سازی
۵۱	۱-۴-۳-۳- مطالعات سینتیکی واکنش $[PtMe_2(dppap)]$ با MeI در بنزن
۵۹	۱-۴-۳- نتیجه گیری
۶۰	منابع

لیست جدول ها

عنوان	صفحه
جدول ۱-۲ واکنش بین $[PtMe_2(dppap)]$ و MeI	۳۱
جدول ۱-۳ نتایج تجزیه عنصری کمپلکس‌های پلاتین	۴۹
جدول ۲-۳ ثابت‌های سرعت مرتبه اول برای واکنش $[PtMe_2(dppap)]$ با MeI در بنزن در $(15^{\circ}C)$	۵۶
جدول ۳-۳ ثابت‌های سرعت مرتبه اول برای واکنش $[PtMe_2(dppap)]$ با MeI در بنزن در $(20^{\circ}C)$	۵۷
جدول ۴-۳ ثابت‌های سرعت مرتبه اول برای واکنش $[PtMe_2(dppap)]$ با MeI در بنزن در $(25^{\circ}C)$	۵۷
جدول ۵-۳ ثابت‌های سرعت مرتبه اول برای واکنش $[PtMe_2(dppap)]$ با MeI در بنزن در $(30^{\circ}C)$	۵۸
جدول ۶-۳ ثابت‌های سرعت مرتبه اول برای واکنش $[PtMe_2(dppap)]$ با MeI در بنزن در $(40^{\circ}C)$	۵۸
جدول ۷-۳ ثابت‌های سرعت مرتبه دوم و پارامترهای فعال سازی برای واکنش $[PtMe_2(dppap)]$ با MeI در بنزن	۵۹

لیست شکل ها

عنوان	صفحه
شکل ۱-۳ الگویی برای لیگاند دی متیل سولفید پل زن (الف) و انتهایی (ب) پیش بینی می شود.	
فراوانی هر یک از گونه ها براساس فراوانی طبیعی ۳۵ $^{195}\text{Pt}=\text{Pt}^*$ ، فراوانی طبیعی (%۳۳/۷) محاسبه شده است .	۱۹۵Pt
شکل ۲-۳ طیف $^1\text{H-NMR}$ $[\text{PtCl}_2(\text{SMe}_2)_2]$ در CDCl_3 (۲۵۰ MHz)	۳۶
شکل ۳-۳ طیف $^1\text{H-NMR}$ کمپلکس $[\text{PtMe}_2(\mu-\text{SMe}_2)_2\text{PtMe}_2]$ در CDCl_3 (۲۵۰ MHz)	۳۸
شکل ۴-۳ طیف $^1\text{H-NMR}$ کمپلکس $[\text{PtMe}_2(\mu-\text{SMe}_2)_2\text{PtMe}_2]$ در CDCl_3 (۲۵۰ MHz)	۳۹
شکل ۵-۳ طیف $^1\text{H-NMR}$ کمپلکس $[\text{PtMe}_2(\text{dppap})]$ در CDCl_3 (۲۵۰ MHz)	۴۰
شکل ۶-۳ گسترده ناحیه ۰.۵-۲.۵ طیف $^1\text{H-NMR}$ کمپلکس $[\text{PtMe}_2(\text{dppap})]$ در CDCl_3 (۲۵۰ MHz)	۴۱
شکل ۷-۳ گسترده ناحیه ۵.۵-۱۰ طیف $^1\text{H-NMR}$ کمپلکس $[\text{PtMe}_2(\text{dppap})]$ در CDCl_3 (۲۵۰ MHz)	۴۲
شکل ۸-۳ طیف $^{31}\text{P}\{^1\text{H}\}$ -NMR کمپلکس $[\text{PtMe}_2(\text{dppap})]$ در CDCl_3 (۲۰۲ MHz)	۴۳
شکل ۹-۳ طیف $^{195}\text{Pt}\{^1\text{H}\}$ NMR کمپلکس $[\text{PtMe}_2(\text{dppap})]$ در CDCl_3 (۱۰۷ MHz)	۴۴
شکل ۱۰-۳ طیف $^{13}\text{C}\{^1\text{H}\}$ NMR کمپلکس $[\text{PtMe}_2(\text{dppap})]$ در CDCl_3 (۱۲۵/۷ MHz)	۴۵

عنوان

صفحه

- شکل ۱۱-۳ گستردۀ ناحیه ۲۰-۳۰ طیف $^{13}\text{C}\{\text{H}\}$ -NMR (۱۲۵/۷ MHz) کمپلکس [PtMe₂(dppap)] در CDCl₃ ۴۴
- شکل ۱۲-۳ گستردۀ ناحیه ۱۱۰-۱۲۰ طیف $^{13}\text{C}\{\text{H}\}$ -NMR (۱۲۵/۷ MHz) کمپلکس [PtMe₂(dppap)] در CDCl₃ ۴۴
- شکل ۱۳-۳ گستردۀ ناحیه ۱۲۸-۱۳۶ طیف $^{13}\text{C}\{\text{H}\}$ -NMR (۱۲۵/۷ MHz) کمپلکس [PtMe₂(dppap)] در CDCl₃ ۴۵
- شکل ۱۴-۳ گستردۀ ناحیه ۱۳۸-۱۶۲ طیف $^{13}\text{C}\{\text{H}\}$ -NMR (۱۲۵/۷ MHz) کمپلکس [PtMe₂(dppap)] در CDCl₃ ۴۵
- شکل ۱۵-۳ طیف ^1H -NMR (۲۵۰ MHz) کمپلکس PtMe₃I(dppap) در CDCl₃ ۴۶
- شکل ۱۶-۳ گستردۀ ناحیه ۰.۵-۲ طیف ^1H -NMR کمپلکس [PtMe₃I(dppap)] در CDCl₃ ۴۷
- شکل ۱۷-۳ گستردۀ ناحیه ۶.۰-۹.۰ طیف ^1H -NMR (۲۵۰ MHz) کمپلکس [PtMe₃I(dppap)] در CDCl₃ ۴۷
- شکل ۱۸-۳ طیف $^{31}\text{P}\{\text{H}\}$ -NMR (۲۰۲ MHz) کمپلکس [PtMe₃I(dppap)] در CDCl₃ ۴۸
- شکل ۱۹-۳ گستردۀ ناحیه ۴۰-۵۰ طیف $^{31}\text{P}\{\text{H}\}$ -NMR (۲۰۲ MHz) کمپلکس [PtMe₃I(dppap)] در CDCl₃ ۴۸
- شکل ۲۰-۳ تغییرات موجود در طیف UV-visible در حین واکنش کمپلکس MeI با [PtMe₂(dppap)] در بنزن در دمای ۲۵ °C (a) طیف اولیه قبل از افروden (b) طیف نهایی MeI ۵۰
- شکل ۲۱-۳ نمودار جذب در مقابل زمان برای واکنش [PtMe₂(dppap)] با MeI در بنزن در دمای ۱۵ °C ۵۳
- شکل ۲۲-۳ نمودار k_{obs} در مقابل [MeI] برای واکنش [PtMe₂(dppap)] با MeI در بنزن در T= ۱۵ °C ۵۳
- شکل ۲۳-۳ نمودار k_{obs} در مقابل [MeI] برای واکنش [PtMe₂(dppap)] با MeI در بنزن در T= ۲۰ °C ۵۴
- شکل ۲۴-۳ نمودار k_{obs} در مقابل [MeI] برای واکنش [PtMe₂(dppap)] با MeI در بنزن در T= ۲۵ °C ۵۴

عنوان

صفحه

شکل ۲۵-۳ نمودار k_{obs} در مقابل $[MeI]$ برای واکنش $[PtMe_2(dppap)]$ با MeI ۵۵
در بنزن در $T = ۳۰^{\circ}C$ ۵۵

شکل ۲۶-۳ نمودار k_{obs} در مقابل $[MeI]$ برای واکنش $[PtMe_2(dppap)]$ با MeI ۵۵
در بنزن در $T = ۴۰^{\circ}C$ ۵۵

شکل ۲۷-۳ نمودار Eyring برای واکنش $[PtMe_2(dppap)]$ با MeI در بنزن ۵۹

فصل اول

مقدمه

فصل اول

مقدمه

۱-۱- ملاحظات کلی^{۱ و ۲}

شیمی آلی فلزی فلزات واسطه در حد واسطه بین شیمی آلی کلاسیک و شیمی معدنی قرار دارد که به بر همکنش بین یونهای فلزی معدنی و مولکولهای آلی توجه دارد.

یونهای فلزات واسطه در نقش اسیدهای لوئیس عمل می کنند و به بازهای لوئیس که به عنوان لیگاند (L) شناخته می شوند حمله می کنند و ترکیبات کثوردیناسیونی یا کمپلکس های ML_n را تولید می کنند.^۲

یکی از مهمترین شاخصه های شیمی آلی فلزی کشف مدهای پیوندی و استخلافی است. از سویی شیمی بسیاری از گونه های آلی فلزی مرسوم پیشرفت بسیار کرده است و از طرف دیگر با ساده شدن یافتن ترکیبات و ساختارهای جدید، تقاضا برای مواد جدید با خصوصیات خاص و کاربرد ویژه، به یک مطلب مهم در تحقیقات تبدیل شده است. برای مثال، پیوندهای π غیر مستقر در گونه های آلی خواص فوتوفیزیکی ویژه ای را به اورگانو پلاتینها می دهند یا واحدهای خطی آلکینیلی صلب، واحدهای سازنده مناسبی برای طراحی مولکولهایی با اسکلت بزرگ هستند.^۱

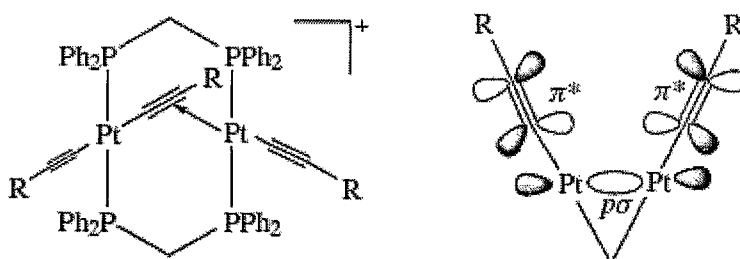
۱-۲-۱- ترکیبات اورگانو پلاتین با درونمایه های آلی جدید

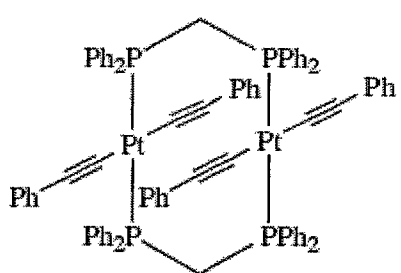
پلاتین به دلیل اینکه می تواند طیف گسترده ای از ترکیبات آلی فلزی را تشکیل دهد عنصر مهمی در شیمی آلی فلزی است. ترکیبات آن به دلیل اینکه به اندازه کافی از نظر سینتیکی بی اثر هستند

امکان جداسازی و شناسایی را فراهم می سازند. با پیشرفت های اخیر در زمینه NMR، پلاتین با عدد اتمی ۱۹۵ و اسپین $\frac{1}{2}$ که فراوانی $33/7\%$ دارد به دلیل امکان مشاهده کوپلاز آن با دیگر هسته ها بسیار مورد توجه است. حضور یا عدم حضور کوپلاز شواهد با ارزشی را مبنی بر نتایج ساختاری ارائه می دهد همان طور که برای یافتن مکانیسم واکنشهای کمپلکسهای آلی فلزی استفاده می شود.^۳

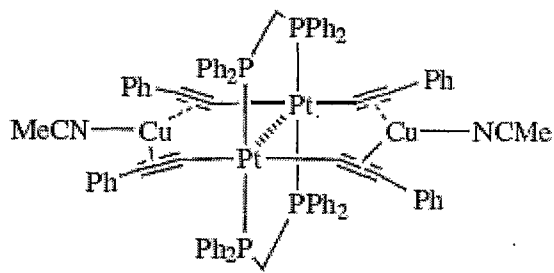
پلاتین در ترکیبات خود تمایل به سه حالت اکسایش $+4$ ، $+2$ و 0 دارد. تمام کمپلکسهایی که در حالت اکسایش $+4$ شناخته شده اند اکتاھدرال و دیامغناطیس با آرایش کم اسپین t_{2g}^6 هستند. کمپلکس های حالت اکسایش $+2$ مسطح و دیامغناطیس با آرایش d^8 کم اسپین هستند. کمپلکسهای الفینی پلاتین(II) حدواسطهای کلیدی در بسیاری از واکنشهای مهم آلی فلزی هستند. به هر حال، مطالعه مستقیم بر روی ترکیبات فلز- الفین شناخته شده بسیار کم است. چون این گونه ها به طور کلی ناپایدار هستند. لیگاندهای دی ایمین با استخلافات حجمی روی نیتروژن می توانند لیگاندهای الفینی با استخلافات الکترون کشنده را از نظر سینتیکی پایدار کنند.^۱

کمپلکسهای دو هسته ای پلاتین با قالب A، مثلاً $[Pt_2(\mu\text{-dppm})_2(\mu\text{-CCR})_2]^+$ (۱)، باندهایی در انرژی پائین تر نسبت به کمپلکسهای تک هسته ای دارند که منجر به شیفت قرمز شده است. یک چنین تغییری را به انتقال بار فلز- فلز به لیگاند (۲) (MMLCT) $[d\sigma^* \rightarrow p\sigma/\pi^*]$ در ساختار قالب A با تقارن C_{2v} نسبت می دهند. کمپلکس چهره به چهره (۳) نیز باندی با شدت انرژی کم نشان می دهد که مربوط به انتقال MMLCT است. کشور دیناسیون CuI یا AgI با لیگاندهای آلکینیل (۴) منجر به افزایش در انرژی اوربیتال (Pt) $d\sigma^*$ می شود، همان گونه که باعث کاهش انرژی اوربیتال (CCPh) π^* می شود. این اثر نهایتاً منجر به شیفت قرمز می شود.





۴



۳

۱-۳-۳- ترکیبات اورگانو پلاتین(IV)

گونه های پلاتین(II) معمولاً به عنوان الکتروفیلها خوب شناخته می شوند. لیگاندهای نیتروژن دهنده مناسب، مانند مشتقات فنانترولین و بی پیریدین، دی ایمینها و غیره می توانند مرکز فلزی را غنی از الکترون کنند. به همین علت فلز می تواند عملأً اکسیداسیون بعدی را انجام دهد و به الکتروفیل سخت تر پلاتین(IV) تبدیل شود. از طرف دیگر، کمپلکسهاي مربع مسطحی پلاتین(II) که ۱۶ الکتروني هستند پيش ماده مناسبی را که از نظر کثوردیناسیونی غير اشباع است را تولید می کنند که مناسب واکنشهای افزایشی هستند. حالت اکسایش Pt^{4+} در Ni و Pd هیدریدهای پلاتین(IV) به عنوان حدواسط در واکنشهای فعال سازی C-H به همان خوبی که واکنشهای هیدروسیلیل دار کردن را انجام می دهنند، مورد توجه هستند. این کمپلکسها ترکیباتی پایدار یا حدواسطهای با طول عمر کوتاه هستند. با توجه به تغییرات حالت اکسایش، واکنشهای اورگانو پلاتین(II) به پلاتین(IV)، به طور عمده با لیگاندهای دهنده نیتروژنی توجه زیادی را جلب کرده اند که در قسمت بعدی مورد بحث قرار گرفته اند.

۱-۲- واکنشهای اکسایشی - افزایشی کمپلکسهاي اورگانو پلاتين(II)^۹

واکنش اکسایشی - افزایشی یکی از اساسی ترین واکنش ها در شیمی فلزات واسطه است و نقش مهمی در بسیاری از واکنشهای سنتزی و کاتالیتیکی به خصوص در سنتزهای آلی ایفا می کند. اکسایش افزایشی واکنشگر $\text{X}-\text{Y}$ به هسته فلزی M منجر به افزایش در عدد کثوردیناسیون کمپلکس از طریق تشکیل دو پیوند جدید $\text{X}-\text{M}$ و $\text{Y}-\text{M}$ می شود. هر دو نوع واکنشهای اکسایشی -

افزایشی یک و دو الکترونی شناخته شده اند ولی هیچ مکانیسمی را ارائه نمی دهند. از همه مهمتر، حالت اکسایشی که به فلز نسبت داده می شود به صورت قراردادی است و هیچ نسبت الزام آوری بین حالت اکسایش قراردادی و دانسته الکترونی روی فلز مرکزی وجود ندارد.

شیمی اورگانو پلاتین بسیار مورد توجه شیمیدان ها است. بدلیل اینکه پلاتین گستره وسیعی از کمپلکسها را تشکیل می دهد که به اندازه کافی پایدار هستند که اجزا بدهند شیمی محلول آنها بطور دقیق مطالعه شود. به علاوه اینکه واکنشهای اکسایش و کاهشی دو الکترونی بین سه حالت اکسایش ($+4$, $+2$, 0) یک قسمت جدایی ناپذیر شیمی پلاتین است.

از وقتی کمپلکسها اورگانو پلاتین(II) ۱۶ الکترونی غیر اشباع کئوردیناسیونی تمایل شدید برای مطالعه واکنش اکسایشی از خود نشان دادند، پیش بینی های با ارزشی درباره جزئیات مکانیسمی این واکنشها بدست آمد که شامل جنبه های ترمودینامیکی و سینتیکی است که مربوط به پایداری بالا و عدم واکنش پذیری محصولات نهایی اورگانو پلاتین(IV) که از نظر کئوردیناسیونی اشباع و ۱۸ الکترونی هستند، است.

مطالعه شیمی پلاتین(IV) دریچه های جدیدی را برای درک واکنش فعال سازی C-H پیش روی قرار می دهد. لیگاندهای دهنده نیتروژنی غنی از الکترون می توانند حالت اکسایش پلاتین(IV) را پایدار کنند. برخی تبدیلات شیمیایی با کشف ترکیبات جدید آلکیل و آریل پلاتین پیشرفت کردند که بینش در مورد الگوهای مکانیسمی و کاتالیتیکی ارائه می دهند.^۱

برای افزایش اکسایشی MeI به $[Pt(o\text{-}tolyl)_2(py)]_2$ ، نشان داده شده است که مقدار پایدارسازی محصولات پلاتین (IV) برای لیگاندهای دهنده نیتروژنی متنوع، خصوصاً دی ایمینها از مقادیر مربوط به ترشی فسفین و آرسین لیگاندها بزرگتر است. این بیشتر مربوط به خصوصیات الکترونی (σ دهنده قوی / π پذیری ضعیف) و فضایی دهنده های نیتروژنی است. به علاوه، خصلت سخت نیتروژن، نوکلئوفیلیستی مرکز پلاتین(II) را افزایش می دهد که از خصوصیات مهم واکنشهای Sn²⁺ است. مرکز فلزی غنی از الکترون باعث فعال شدن پیش ماده ها می شوند.

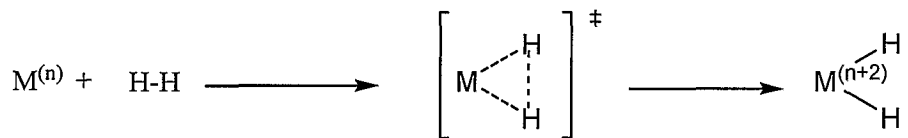
۱-۲-۱- مکانیسم اکسایشی افزایشی

انواع متفاوتی از مکانیسمها برای واکنش افزایشی اکسایشی پیشنهاد شده است. تغییرات جزئی در طبیعت فلز، واکنشگرها و لیگاندها می تواند روند افزایش را تغییر دهد. واکنشگرهای دسته اول غیر قطبی یا با قطبیت خیلی کم هستند (مانند R₃Si-H, H₂ و R-H)، دسته دوم الکتروفیل هستند (

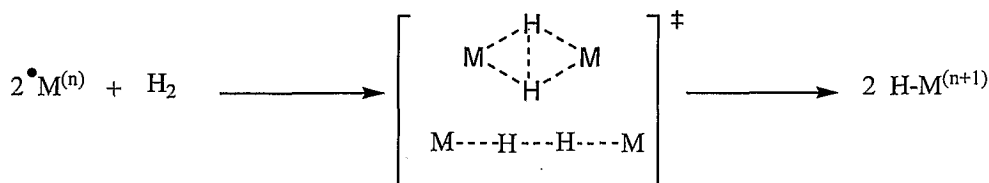
مانند، $H-X$, X_2 , $R-X$ و گونه های دسته سوم، پیوند بین گونه های اضافه شده باقی می ماند) مانند O_2 , سیکلوبروپان و اپوکسیدها).

۱-۲-۱-۱- واکنشگرهای دسته اول

سه مکانیسم متفاوت برای واکنشگرهای دسته اول شناخته شده اند که دو تا از آنها به صورت افزایش اکسایشی سیس است و فعال سازی پیوند به صورت هومولیتیک است. روش اول، یک مسیر معمول برای واکنشگرهای کلاس A به خصوص H_2 است (شما ۱-۱). در مقابل، مورد دوم خیلی معمول نیست و دو مرکز فلزی در آن مشارکت دارند که هر کدام از مسیر تک الکترونی پیش می روند (شما ۱-۲). مسیر سوم به صورت هتروولیتیک است و در دسته واکنشهای اکسایشی افزایشی قرار نمی گیرند.



شما ۱-۱



شما ۲-۱

۱-۲-۱-۲- واکنشگرهای دسته دوم

افزایش اکسایشی واکنشگرهای الکتروفیل Y-X معمولاً به صورت یک روند خاص عمل می کنند ولی گاهی اوقات این واکنشها با مکانیسمهای رقابتی پیچیده می شوند. شناخته شده ترین مسیر واکنش به صورت اکسایش تک الکترونی یا دو الکترونی طبقه بندی می شود.

افزایش اکسایشی تک الکترونی از طریق یکی از مکانیسمهای زیر پیش می رود.

(الف) مکانیسم رادیکالی غیر چرخه ای (مکانیسم انتقال الکترونی کره داخلی / زوج رادیکال قفسی)
ب) مکانیسم رادیکال آزاد که یک مثال از آن در شماره ۱-۳ بیان شده است.

دو مسیر مکانیسمی برای واکنشهای اکسایشی افزایشی دو الکترونی وجود دارد؛ که آنها همراه با افزایش سه مرکزی به صورت سیس و دو مولکولی است.

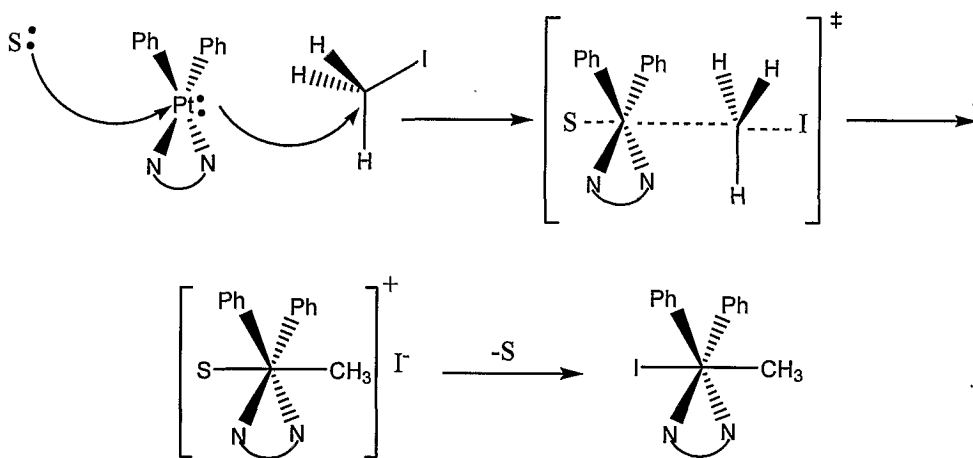
۱-۲-۱-۲-۱- افزایش سه مرکزی به صورت سیس

افزایش اکسایشی درون مولکولی آریل هالیدها به مراکز پلاتین(II) شناخته شده نیستند ولی افزایش بین مولکولی با کمپلکسهای غنی از الکترون و طراحی لیگاند امکان پذیر است.

۱-۲-۱-۲-۲- افزایش اکسایشی دو مولکولی(نوعی $\text{S}_{\text{N}}2$)

ثابت‌های سرعت مرتبه ۲ این واکنشها محدوده وسیعی دارد ($k_2 = 9/2 \times 10^{-5} \text{ L mol}^{-1} \text{ s}^{-1}$) و همانطور که مورد انتظار است مقدار ΔS^\ddagger منفی بزرگ است. مطالعات مکانیسمی واکنش MeI با کمپلکسهای اورگانو پلاتین(II) حاوی لیگاندهای دهنده نیتروژن برای اولین بار برای کمپلکس $[\text{PtPh}_2(\text{bipy})]$ توسط Jawad و همکاران بررسی و گزارش شده است.^۵ حساسیت این واکنش به اثرات مختلف الکترونی، فضایی و حلal مورد بررسی قرار گرفت. ثابت سرعت برای این واکنش مرتبه ۲ است، نسبت به هر یک از واکنشگرهای مرتبه یک است. افزایش سرعت واکنش در حلالهای قطبی تر مشاهده شده است که در مورد حالت گذار قطبی انتظار می رود. داده های سینتیکی بر مکانیسم $\text{S}_{\text{N}}2$ تأکید دارند که در آن مرکز فلزی به عنوان نوکلئوفیل عمل می کند و به اتم کربن

واکنش دهنده حمله می کند و حدواسط کاتیونی $[\text{PtMePh}_2(\text{bipy})]\text{I}$ را تولید می کند که نوآرایی انجام می دهد و محصول نهایی $[\text{PtIMePh}_2(\text{bipy})]$ را می دهد (شما ۴-۱).



شما ۴-۱

ارتباط مستقیم انرژی باند با کمترین انرژی $\text{MLCT} [5\text{d}_\pi (\text{Pt}) \rightarrow \pi^* (\text{bipy})]$ و سرعت واکنش در حلال قطبی مانند استون مشخص شده است. با استخلافات الکترون دهنده تر روی لیگاندهای فنیلی واکنش سریعتر انجام می شود که مربوط به افزایش خصلت بازی روی مرکز فلزی است. انرژی اوربیتالهای پر مرکز فلزی پلاتین(II) نشان دهنده فعالیت و واکنش پذیری کمپلکس است. واکنشها به طور طبیعی دو مولکولی هستند و مقدار انتریوپی بزرگ دارند ($160 \text{ J K}^{-1} \text{ mol}^{-1}$). سرعت واکنش همچنین به میزان ممانعت فضایی لیگاندها وابسته است. برای مثال، لیگاندهای فنیل دارای استخلاف ارتو با بستن موقعیتهای بالا و پائین صفحه کثورдинاسیون از دستری MeI جلوگیری می کنند. با این حال مشاهده شده است که برای واکنش افزایشی اکسایشی $\text{S}_{\text{N}}2$ اتیل یدید به $[\text{PtMe}_2(\text{bipy})]$ در مقایسه با MeI سرعت 10^{-3} بار کاهش می یابد. شواهد مستقیم برای مکانیسم $\text{S}_{\text{N}}2$ شناسایی حدواسط کاتیونی است که در برخی موارد در دمای پائین توسط ${}^1\text{H-NMR}$ شناسایی شده است. برای مثال در واکنش MeI با $[\text{PtMe}_2(\text{bipy})]$ گونه های کاتیونی در حللهای قطبی مانند CD_3CN استون- d_6 شناسایی شدند (شما ۵-۱).